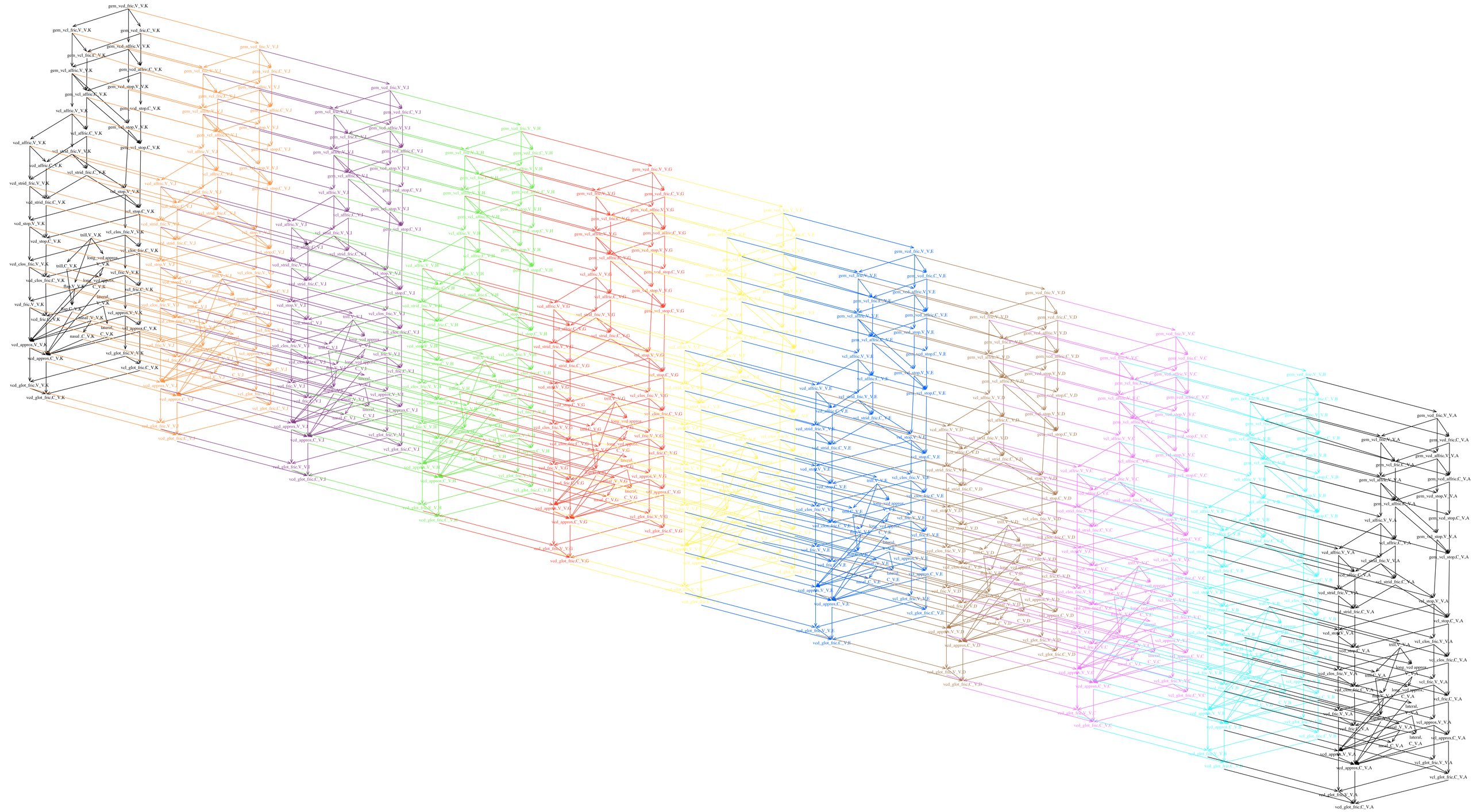
gem_ved_fric,V_V,K
gem_vel_fric,V_V,K
gem_ved_fric,C_V,K
gem_ved_affric,V_V,K
gem_vel_fric,C_V,K
gem_vel_affric,V_V,K
gem_ved_affric,C_V,K
gem_ved_stop,V_V,K
gem_vel_affric,C_V,K
gem_ved_stop,C_V,K
vel_affric,V_V,K
gem_vel_stop,V_V,K
vel_affric,C_V,K
gem_vel_stop,C_V,K
ved_affric,V_V,K
vel_strid_fric,V_V,K
ved_affric,C_V,K
vel_strid_fric,C_V,K
ved_strid_fric,V_V,K
vel_stop,V_V,K
ved_strid_fric,C_V,K
vel_stop,C_V,K
ved_stop,V_V,K
trill,V_V,K
vel_clos_fric,V_V,K
ved_stop,C_V,K
vel_clos_fric,C_V,K
ved_clos_fric,V_V,K
trill,C_V,K
long_ved_approx,V_V,K
vel_fric,V_V,K
ved_clos_fric,C_V,K
long_vel_approx,C_V,K
flap,V_V,K
vel_fric,C_V,K
ved_fric,V_V,K
lateral,V_V,K
flap,C_V,K
vel_approx,V_V,K
ved_fric,C_V,K
nasal,V_V,K
vel_approx,C_V,K
nasal,C_V,K
ved_approx,V_V,K
ved_approx,C_V,K
vel_glot_fric,V_V,K
vel_glot_fric,C_V,K
ved_glot_fric,V_V,K
ved_glot_fric,C_V,K
gem_ved_fric,V_V,I
gem_vel_fric,V_V,I
gem_ved_fric,C_V,I
gem_ved_affric,V_V,I
gem_vel_fric,C_V,I
gem_vel_affric,V_V,I
gem_ved_affric,C_V,I
gem_ved_stop,V_V,I
gem_vel_affric,C_V,I
gem_ved_stop,C_V,I
vel_affric,V_V,I
gem_vel_stop,V_V,I
vel_affric,C_V,I
gem_vel_stop,C_V,I
ved_affric,V_V,I
vel_strid_fric,V_V,I
ved_affric,C_V,I
vel_strid_fric,C_V,I
ved_strid_fric,V_V,I
vel_stop,V_V,I
ved_strid_fric,C_V,I
vel_stop,C_V,I
ved_stop,V_V,I
trill,V_V,I
vel_clos_fric,V_V,I
ved_stop,C_V,I
vel_clos_fric,C_V,I
ved_clos_fric,V_V,I
trill,C_V,I
long_ved_approx,V_V,I
vel_fric,V_V,I
ved_clos_fric,C_V,I
long_vel_approx,C_V,I
flap,V_V,I
vel_fric,C_V,I
ved_fric,V_V,I
lateral,V_V,I
flap,C_V,I
vel_approx,V_V,I
ved_fric,C_V,I
nasal,V_V,I
vel_approx,C_V,I
nasal,C_V,I
ved_approx,V_V,I
ved_approx,C_V,I
vel_glot_fric,V_V,I
vel_glot_fric,C_V,I
ved_glot_fric,V_V,I
ved_glot_fric,C_V,I
gem_ved_fric,V_V,H
gem_vel_fric,V_V,H
gem_ved_fric,C_V,H
gem_ved_affric,V_V,H
gem_vel_fric,C_V,H
gem_vel_affric,V_V,H
gem_ved_affric,C_V,H
gem_ved_stop,V_V,H
gem_vel_affric,C_V,H
gem_ved_stop,C_V,H
vel_affric,V_V,H
gem_vel_stop,V_V,H
vel_affric,C_V,H
gem_vel_stop,C_V,H
ved_affric,V_V,H
vel_strid_fric,V_V,H
ved_affric,C_V,H
vel_strid_fric,C_V,H
ved_strid_fric,V_V,H
vel_stop,V_V,H
ved_strid_fric,C_V,H
vel_stop,C_V,H
ved_stop,V_V,H
trill,V_V,H
vel_clos_fric,V_V,H
ved_stop,C_V,H
vel_clos_fric,C_V,H
ved_clos_fric,V_V,H
trill,C_V,H
long_ved_approx,V_V,H
vel_fric,V_V,H
ved_clos_fric,C_V,H
long_vel_approx,C_V,H
flap,V_V,H
vel_fric,C_V,H
ved_fric,V_V,H
lateral,V_V,H
flap,C_V,H
vel_approx,V_V,H
ved_fric,C_V,H
nasal,V_V,H
vel_approx,C_V,H
nasal,C_V,H
ved_approx,V_V,H
ved_approx,C_V,H
vel_glot_fric,V_V,H
vel_glot_fric,C_V,H
ved_glot_fric,V_V,H
ved_glot_fric,C_V,H
gem_ved_fric,V_V,G
gem_vel_fric,V_V,G
gem_ved_fric,C_V,G
gem_ved_affric,V_V,G
gem_vel_fric,C_V,G
gem_vel_affric,V_V,G
gem_ved_affric,C_V,G
gem_ved_stop,V_V,G
gem_vel_affric,C_V,G
gem_ved_stop,C_V,G
vel_affric,V_V,G
gem_vel_stop,V_V,G
vel_affric,C_V,G
gem_vel_stop,C_V,G
ved_affric,V_V,G
vel_strid_fric,V_V,G
ved_affric,C_V,G
vel_strid_fric,C_V,G
ved_strid_fric,V_V,G
vel_stop,V_V,G
ved_strid_fric,C_V,G
vel_stop,C_V,G
ved_stop,V_V,G
trill,V_V,G
vel_clos_fric,V_V,G
ved_stop,C_V,G
vel_clos_fric,C_V,G
ved_clos_fric,V_V,G
trill,C_V,G
long_ved_approx,V_V,G
vel_fric,V_V,G
ved_clos_fric,C_V,G
long_vel_approx,C_V,G
flap,V_V,G
vel_fric,C_V,G
ved_fric,V_V,G
lateral,V_V,G
flap,C_V,G
vel_approx,V_V,G
ved_fric,C_V,G
nasal,V_V,G
vel_approx,C_V,G
nasal,C_V,G
ved_approx,V_V,G
ved_approx,C_V,G
vel_glot_fric,V_V,G
vel_glot_fric,C_V,G
ved_glot_fric,V_V,G
ved_glot_fric,C_V,G
gem_ved_fric,V_V,F
gem_vel_fric,V_V,F
gem_ved_fric,C_V,F
gem_ved_affric,V_V,F
gem_vel_fric,C_V,F
gem_vel_affric,V_V,F
gem_ved_affric,C_V,F
gem_ved_stop,V_V,F
gem_vel_affric,C_V,F
gem_ved_stop,C_V,F
vel_affric,V_V,F
gem_vel_stop,V_V,F
vel_affric,C_V,F
gem_vel_stop,C_V,F
ved_affric,V_V,F
vel_strid_fric,V_V,F
ved_affric,C_V,F
vel_strid_fric,C_V,F
ved_strid_fric,V_V,F
vel_stop,V_V,F
ved_strid_fric,C_V,F
vel_stop,C_V,F
ved_stop,V_V,F
trill,V_V,F
vel_clos_fric,V_V,F
ved_stop,C_V,F
vel_clos_fric,C_V,F
ved_clos_fric,V_V,F
trill,C_V,F
long_ved_approx,V_V,F
vel_fric,V_V,F
ved_clos_fric,C_V,F
long_vel_approx,C_V,F
flap,V_V,F
vel_fric,C_V,F
ved_fric,V_V,F
lateral,V_V,F
flap,C_V,F
vel_approx,V_V,F
ved_fric,C_V,F
nasal,V_V,F
vel_approx,C_V,F
nasal,C_V,F
ved_approx,V_V,F
ved_approx,C_V,F
vel_glot_fric,V_V,F
vel_glot_fric,C_V,F
ved_glot_fric,V_V,F
ved_glot_fric,C_V,F
gem_ved_fric,V_V,E
gem_vel_fric,V_V,E
gem_ved_fric,C_V,E
gem_ved_affric,V_V,E
gem_vel_fric,C_V,E
gem_vel_affric,V_V,E
gem_ved_affric,C_V,E
gem_ved_stop,V_V,E
gem_vel_affric,C_V,E
gem_ved_stop,C_V,E
vel_affric,V_V,E
gem_vel_stop,V_V,E
vel_affric,C_V,E
gem_vel_stop,C_V,E
ved_affric,V_V,E
vel_strid_fric,V_V,E
ved_affric,C_V,E
vel_strid_fric,C_V,E
ved_strid_fric,V_V,E
vel_stop,V_V,E
ved_strid_fric,C_V,E
vel_stop,C_V,E
ved_stop,V_V,E
trill,V_V,E
vel_clos_fric,V_V,E
ved_stop,C_V,E
vel_clos_fric,C_V,E
ved_clos_fric,V_V,E
trill,C_V,E
long_ved_approx,V_V,E
vel_fric,V_V,E
ved_clos_fric,C_V,E
long_vel_approx,C_V,E
flap,V_V,E
vel_fric,C_V,E
ved_fric,V_V,E
lateral,V_V,E
flap,C_V,E
vel_approx,V_V,E
ved_fric,C_V,E
nasal,V_V,E
vel_approx,C_V,E
nasal,C_V,E
ved_approx,V_V,E
ved_approx,C_V,E
vel_glot_fric,V_V,E
vel_glot_fric,C_V,E
ved_glot_fric,V_V,E
ved_glot_fric,C_V,E
gem_ved_fric,V_V,D
gem_vel_fric,V_V,D
gem_ved_fric,C_V,D
gem_ved_affric,V_V,D
gem_vel_fric,C_V,D
gem_vel_affric,V_V,D
gem_ved_affric,C_V,D
gem_ved_stop,V_V,D
gem_vel_affric,C_V,D
gem_ved_stop,C_V,D
vel_affric,V_V,D
gem_vel_stop,V_V,D
vel_affric,C_V,D
gem_vel_stop,C_V,D
ved_affric,V_V,D
vel_strid_fric,V_V,D
ved_affric,C_V,D
vel_strid_fric,C_V,D
ved_strid_fric,V_V,D
vel_stop,V_V,D
ved_strid_fric,C_V,D
vel_stop,C_V,D
ved_stop,V_V,D
trill,V_V,D
vel_clos_fric,V_V,D
ved_stop,C_V,D
vel_clos_fric,C_V,D
ved_clos_fric,V_V,D
trill,C_V,D
long_ved_approx,V_V,D
vel_fric,V_V,D
ved_clos_fric,C_V,D
long_vel_approx,C_V,D
flap,V_V,D
vel_fric,C_V,D
ved_fric,V_V,D
lateral,V_V,D
flap,C_V,D
vel_approx,V_V,D
ved_fric,C_V,D
nasal,V_V,D
vel_approx,C_V,D
nasal,C_V,D
ved_approx,V_V,D
ved_approx,C_V,D
vel_glot_fric,V_V,D
vel_glot_fric,C_V,D
ved_glot_fric,V_V,D
ved_glot_fric,C_V,D
gem_ved_fric,V_V,C
gem_vel_fric,V_V,C
gem_ved_fric,C_V,C
gem_ved_affric,V_V,C
gem_vel_fric,C_V,C
gem_vel_affric,V_V,C
gem_ved_affric,C_V,C
gem_ved_stop,V_V,C
gem_vel_affric,C_V,C
gem_ved_stop,C_V,C
vel_affric,V_V,C
gem_vel_stop,V_V,C
vel_affric,C_V,C
gem_vel_stop,C_V,C
ved_affric,V_V,C
vel_strid_fric,V_V,C
ved_affric,C_V,C
vel_strid_fric,C_V,C
ved_strid_fric,V_V,C
vel_stop,V_V,C
ved_strid_fric,C_V,C
vel_stop,C_V,C
ved_stop,V_V,C
trill,V_V,C
vel_clos_fric,V_V,C
ved_stop,C_V,C
vel_clos_fric,C_V,C
ved_clos_fric,V_V,C
trill,C_V,C
long_ved_approx,V_V,C
vel_fric,V_V,C
ved_clos_fric,C_V,C
long_vel_approx,C_V,C
flap,V_V,C
vel_fric,C_V,C
ved_fric,V_V,C
lateral,V_V,C
flap,C_V,C
vel_approx,V_V,C
ved_fric,C_V,C
nasal,V_V,C
vel_approx,C_V,C
nasal,C_V,C
ved_approx,V_V,C
ved_approx,C_V,C
vel_glot_fric,V_V,C
vel_glot_fric,C_V,C
ved_glot_fric,V_V,C
ved_glot_fric,C_V,C
gem_ved_fric,V_V,B
gem_vel_fric,V_V,B
gem_ved_fric,C_V,B
gem_ved_affric,V_V,B
gem_vel_fric,C_V,B
gem_vel_affric,V_V,B
gem_ved_affric,C_V,B
gem_ved_stop,V_V,B
gem_vel_affric,C_V,B
gem_ved_stop,C_V,B
vel_affric,V_V,B
gem_vel_stop,V_V,B
vel_affric,C_V,B
gem_vel_stop,C_V,B
ved_affric,V_V,B
vel_strid_fric,V_V,B
ved_affric,C_V,B
vel_strid_fric,C_V,B
ved_strid_fric,V_V,B
vel_stop,V_V,B
ved_strid_fric,C_V,B
vel_stop,C_V,B
ved_stop,V_V,B
trill,V_V,B
vel_clos_fric,V_V,B
ved_stop,C_V,B
vel_clos_fric,C_V,B
ved_clos_fric,V_V,B
trill,C_V,B
long_ved_approx,V_V,B
vel_fric,V_V,B
ved_clos_fric,C_V,B
long_vel_approx,C_V,B
flap,V_V,B
vel_fric,C_V,B
ved_fric,V_V,B
lateral,V_V,B
flap,C_V,B
vel_approx,V_V,B
ved_fric,C_V,B
nasal,V_V,B
vel_approx,C_V,B
nasal,C_V,B
ved_approx,V_V,B
ved_approx,C_V,B
vel_glot_fric,V_V,B
vel_glot_fric,C_V,B
ved_glot_fric,V_V,B
ved_glot_fric,C_V,B
gem_ved_fric,V_V,A
gem_vel_fric,V_V,A
gem_ved_fric,C_V,A
gem_ved_affric,V_V,A
gem_vel_fric,C_V,A
gem_vel_affric,V_V,A
gem_ved_affric,C_V,A
gem_ved_stop,V_V,A
gem_vel_affric,C_V,A
gem_ved_stop,C_V,A
vel_affric,V_V,A
gem_vel_stop,V_V,A
vel_affric,C_V,A
gem_vel_stop,C_V,A
ved_affric,V_V,A
vel_strid_fric,V_V,A
ved_affric,C_V,A
vel_strid_fric,C_V,A
ved_strid_fric,V_V,A
vel_stop,V_V,A
ved_strid_fric,C_V,A
vel_stop,C_V,A
ved_stop,V_V,A
trill,V_V,A
vel_clos_fric,V_V,A
ved_stop,C_V,A
vel_clos_fric,C_V,A
ved_clos_fric,V_V,A
trill,C_V,A
long_ved_approx,V_V,A
vel_fric,V_V,A
ved_clos_fric,C_V,A
long_vel_approx,C_V,A
flap,V_V,A
vel_fric,C_V,A
ved_fric,V_V,A
lateral,V_V,A
flap,C_V,A
vel_approx,V_V,A
ved_fric,C_V,A
nasal,V_V,A
vel_approx,C_V,A
nasal,C_V,A
ved_approx,V_V,A
ved_approx,C_V,A
vel_glot_fric,V_V,A
vel_glot_fric,C_V,A
ved_glot_fric,V_V,A
ved_glot_fric,C_V,A